

發展智慧型植物監測植體磷含量

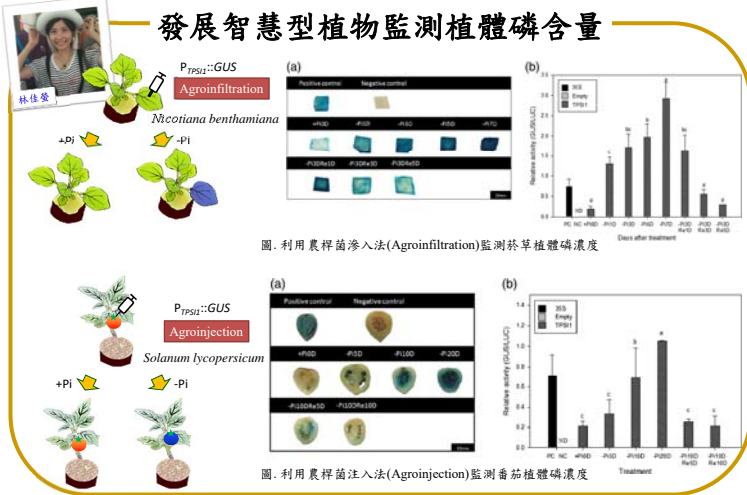


圖. 利用農桿菌滲入法(Agroinfiltration)監測菸草植體磷濃度

圖. 利用農桿菌注入法(Agroinjection)監測番茄植體磷濃度

甘藍嫁接技術之建立與應用

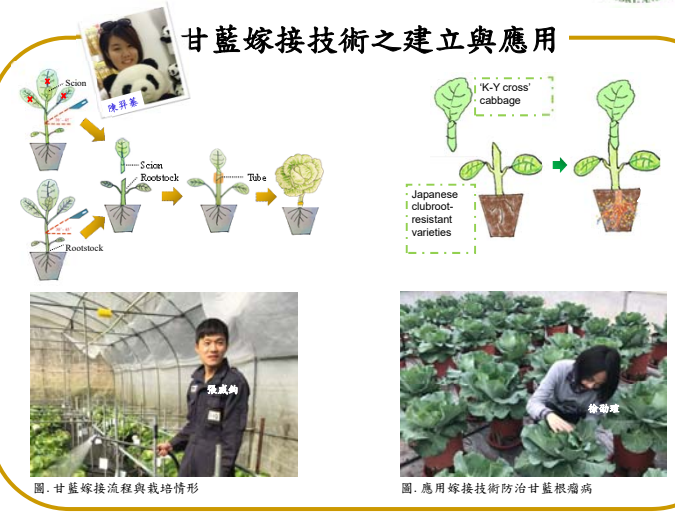


圖. 甘藍嫁接流程與栽培情形

圖. 應用嫁接技術防治甘藍根腐病

番茄與菸草中可經嫁接傳遞之小型核糖核酸的確認與功能性分析

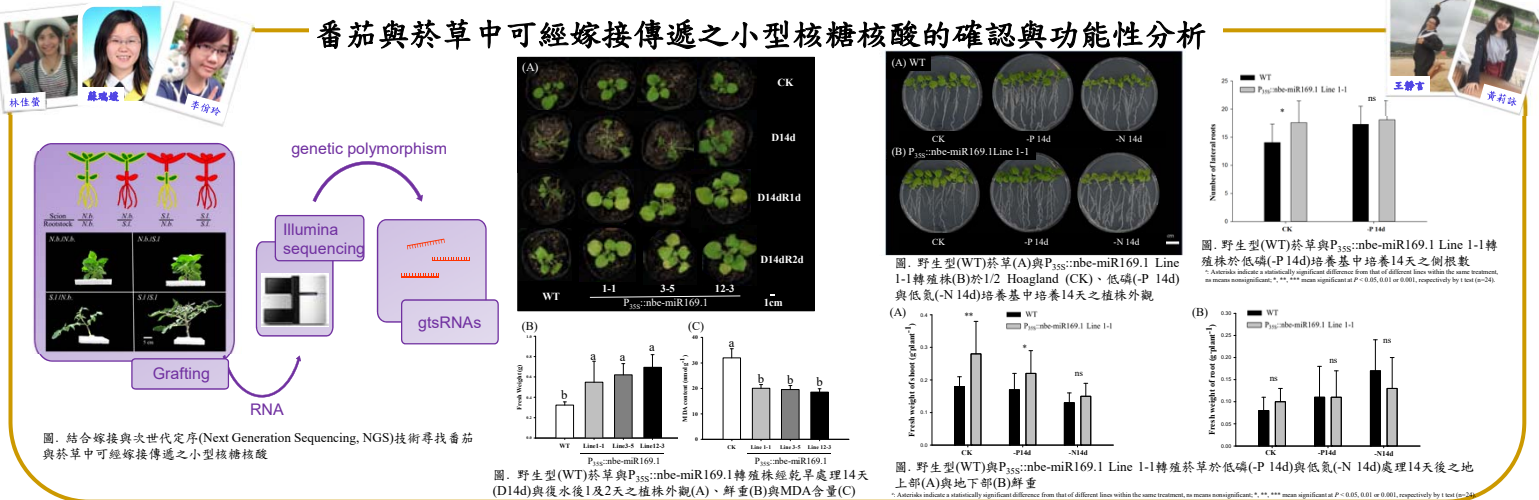


圖. 結合嫁接與次世代定序(Next Generation Sequencing, NGS)技術尋找番茄與菸草中可經嫁接傳遞之小型核糖核酸

圖. 野生型(WT)菸草與P_{35S}::nbe-miR169.1轉殖株經乾旱處理14天(D14d)與復水後1及2天之植株外觀(A)、鮮重(B)與MDA含量(C)

圖. 野生型(WT)菸草與P_{35S}::nbe-miR169.1 Line 1-1轉殖株於低磷(-P 14d)與低氮(-N 14d)培養基中培養14天之植株外觀(A)與地下部(B)鮮重

植物工場低鉀蔬菜栽培模式

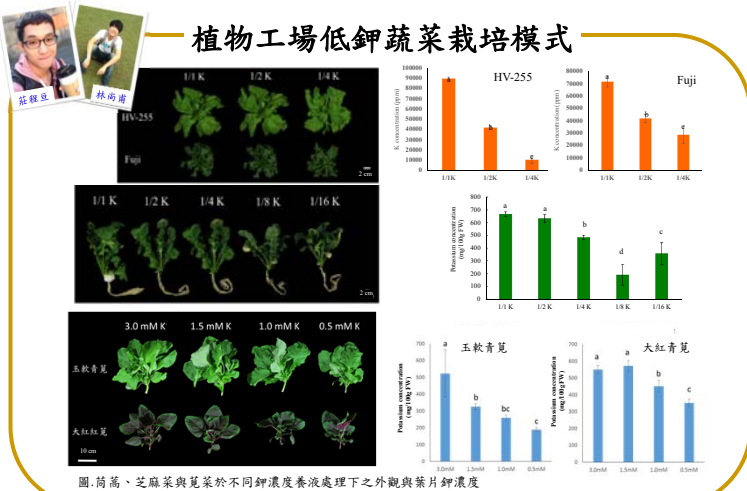


圖. 茼蒿、芝麻菜與莧菜於不同鉀濃度養液處理下之外觀與莖葉片鉀濃度

番茄尻腐病生理調控機制

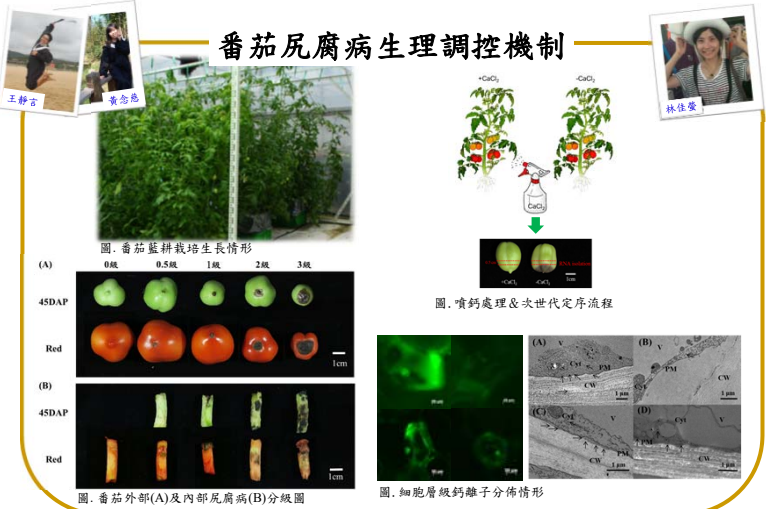


圖. 番茄外部(A)及內部尻腐病(B)分級圖

圖. 細胞層級鈣離子分佈情形

小果番茄節水灌溉之研究

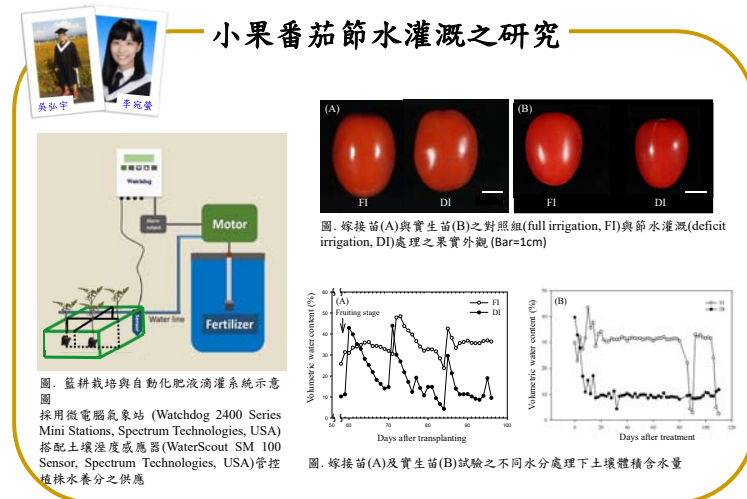


圖. 嫁接苗(A)與實生苗(B)之對照組(full irrigation, FI)與節水灌溉(deficit irrigation, DI)處理之果實外觀 (Bar=1cm)

圖. 嫁接苗(A)及實生苗(B)試驗之不同水分處理下土壤體積含水量

溫室智慧型省工栽培管理系統之開發

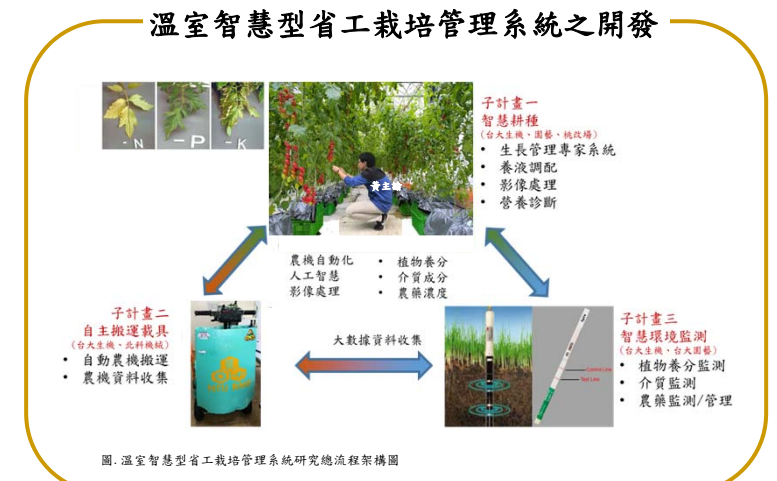


圖. 溫室智慧型省工栽培管理系統研究總流程架構圖